

# CO<sub>2</sub>/HCs 混合物宽区域黏度模型的热力学研究

宋渤, 田远思, 王晓坡, 刘志刚

西安交通大学热流科学与工程教育部重点实验室, 西安 710049

**摘要** 基于Vesovic-Wakeham理论,建立CO<sub>2</sub>/HCs二元混合物黏度预测模型,对CO<sub>2</sub>/CH<sub>4</sub>, CO<sub>2</sub>/C<sub>2</sub>H<sub>6</sub>, CO<sub>2</sub>/C<sub>3</sub>H<sub>8</sub>, CO<sub>2</sub>/*n*-C<sub>4</sub>H<sub>10</sub>和CO<sub>2</sub>/iso-C<sub>4</sub>H<sub>10</sub>这5种重要CO<sub>2</sub>/HCs二元体系的黏度进行了预测,温度范围为273.15~973.15 K,压力范围为0.1~200 MPa,最大黏度预测值达140 μPa·s。与大量文献实验数据的比较表明,所预测的黏度计算值具有较高的精度,可以满足工程应用的实际要求。

**关键词** Vesovic-Wakeham理论;黏度;CO<sub>2</sub>/HCs;二元混合物

中图分类号 TQ021

文献标志码 A

doi 10.3981/j.issn.1000-7857.2014.27.002

## Viscosity Modeling of CO<sub>2</sub>/HCs Fluid Mixtures in Wide Thermodynamic Ranges

SONG Bo, TIAN Yuansi, WANG Xiaopo, LIU Zhigang

Key Laboratory of Thermo-Fluid Science and Engineering, Ministry of Education; Xi'an Jiaotong University, Xi'an 710049, China

**Abstract** The CO<sub>2</sub>/HCs fluids are widely discussed in the engineering and scientific studies. The viscosity, as one of the most important transport properties, plays a key role in the applications of CO<sub>2</sub>/HCs mixtures in different fields. The theoretical approaches are effective to supplement the experimental viscosity data in wide thermodynamic ranges. In this paper, viscosity models are built for CO<sub>2</sub>/HCs binary mixtures based on the Vesovic-Wakeham theory. The viscosity correlations and the potential parameters of pure species are selected from literature and utilized in the constructions of models. The viscosities of five industrially important CO<sub>2</sub>/HCs binary systems are predicted in the temperature range from 273.15 K to 973.15 K and at the pressure up to 200 MPa. The studied systems are CO<sub>2</sub>/CH<sub>4</sub>, CO<sub>2</sub>/C<sub>2</sub>H<sub>6</sub>, CO<sub>2</sub>/C<sub>3</sub>H<sub>8</sub>, CO<sub>2</sub>/*n*-C<sub>4</sub>H<sub>10</sub> and CO<sub>2</sub>/iso-C<sub>4</sub>H<sub>10</sub>. The calculated values are compared with a large amount of experimental viscosity data over a wide temperature-pressure range. The extensive analysis shows that the calculated viscosity values of the present work could be used with confidence in different industrial applications.

**Keywords** Vesovic-Wakeham theory; viscosity; CO<sub>2</sub>/HCs; binary mixtures

二氧化碳/轻烃混合物(CO<sub>2</sub>/HCs)在工程生产和科学研究中得到了广泛的应用<sup>[1,2]</sup>。CO<sub>2</sub>/HCs混合物是一类优势互补的替代制冷剂,CO<sub>2</sub>可以抑制HCs类物质的可燃性,二者混合还可以降低CO<sub>2</sub>较高的运行压力。天然气储层中注入CO<sub>2</sub>,能够促进天然气的增产回收,并且是一种碳储存的有效途径。同时,研究典型的CO<sub>2</sub>/HCs二元体系间作用,可以进一步揭示流体微观运动与宏观表象的相互关系。

黏度是流体最重要的迁移性质之一,对于CO<sub>2</sub>/HCs混合物的研究和应用,黏度是不可或缺的基础数据。目前国内外对CO<sub>2</sub>/HCs混合物物质的热力学性质进行了大量的理论和实验研究<sup>[3-6]</sup>,而对迁移性质研究的较少,亟待开展相关的工作。对于混合物的黏度而言,实验测量手段无法完全满足实际所需,这就需要利用理论预测方法弥补实验的不足,准确、大量地获得混合物的黏度数据。

收稿日期:2014-04-18;修回日期:2014-05-23

基金项目:国家自然科学基金项目(51376149);《科技导报》博士生创新研究资助计划项目(kjdb2012002)

作者简介:宋渤,博士研究生,研究方向为流体热物性,电子信箱:ckssvva@163.com;王晓坡(通信作者),副教授,研究方向为流体热物性,电子信箱:

wangxp@mail.xjtu.edu.cn

引用格式:宋渤,田远思,王晓坡,等. CO<sub>2</sub>/HCs混合物宽区域黏度模型的热力学研究[J]. 科技导报, 2014, 32(27): 19-22.

Vesovic 等<sup>[7-9]</sup>通过改进分子硬球理论,建立了适用于稠密流体的黏度模型,能够有效预测从低密度区至超临界区的黏度。文献[10]采用 Vesovic-Wakeham 理论(VW 理论),计算获得了多种 HFC 类混合制冷剂的黏度值。本文对 CO<sub>2</sub>/HCs 二元体系进行系统研究,以建立不同分子间的黏度预测模型。

### 1 黏度预测模型

根据硬球理论模型,一定的温度和压力下,组分 1 和组分 2 构成的二元混合物的黏度表达式<sup>[11]</sup>为

$$\eta_{\text{mix}}(\rho, T) = \frac{H_{11}Y_2^2 - 2H_{12}Y_1Y_2 + H_{22}Y_1^2}{H_{11}H_{22} - H_{12}^2} + K_{\text{mix}} \quad (1)$$

$$Y_1 = x_1 \left( 1 + \frac{1}{2} x_1 \alpha_{11} \bar{\chi}_{11} \rho + \frac{m_2}{m_1 + m_2} x_2 \alpha_{12} \bar{\chi}_{12} \rho \right) \quad (2)$$

$$Y_2 = x_2 \left( 1 + \frac{1}{2} x_2 \alpha_{22} \bar{\chi}_{22} \rho + \frac{m_1}{m_1 + m_2} x_1 \alpha_{12} \bar{\chi}_{12} \rho \right) \quad (3)$$

$$H_{11} = \frac{x_1^2 \bar{\chi}_{11}}{\eta_1^0} + \frac{x_1 x_2 \bar{\chi}_{12}}{2\eta_{12}^0 A_{12}^*} \frac{m_1 m_2}{(m_1 + m_2)^2} \left( \frac{20}{3} + \frac{4m_2}{m_1} A_{12}^* \right) \quad (4)$$

$$H_{22} = \frac{x_2^2 \bar{\chi}_{22}}{\eta_2^0} + \frac{x_1 x_2 \bar{\chi}_{12}}{2\eta_{12}^0 A_{12}^*} \frac{m_1 m_2}{(m_1 + m_2)^2} \left( \frac{20}{3} + \frac{4m_1}{m_2} A_{12}^* \right) \quad (5)$$

$$H_{12} = -\frac{x_1 x_2 \bar{\chi}_{12}}{2\eta_{12}^0 A_{12}^*} \frac{m_1 m_2}{(m_1 + m_2)^2} \left( \frac{20}{3} - 4A_{12}^* \right) \quad (6)$$

$$K_{\text{mix}} = \frac{3}{\pi} \rho^2 (x_1^2 \bar{\chi}_{11} \alpha_{11}^2 \eta_1^0 + 2x_1 x_2 \bar{\chi}_{12} \alpha_{12}^2 \eta_{12}^0 + x_2^2 \bar{\chi}_{22} \alpha_{22}^2 \eta_2^0) \quad (7)$$

其中,  $\rho$  为密度,  $T$  为温度,  $x$  为物质的量分数,  $m$  为分子质量,  $\eta^0$  为零密度下的黏度,  $A^* = \Omega^*(2,2)/\Omega^*(1,1)$ , 是碰撞积分  $\Omega^*$  的函数, 由对比态理论计算<sup>[12]</sup>。

在式(2)~式(7)中, 参数  $\alpha_{12}$  和  $\bar{\chi}_{12}$  代表了流体压力对混合物黏度的作用, 在 VW 理论<sup>[7-9]</sup>中

$$\bar{\chi}_{12}(\rho, T) = 1 + \frac{2}{5} [x_1(\bar{\chi}_1 - 1) + x_2(\bar{\chi}_2 - 1)] + \frac{\frac{6}{5}(\bar{\chi}_1 - 1)^{1/3}(\bar{\chi}_2 - 1)^{1/3} [x_1(\bar{\chi}_1 - 1)^{2/3} + x_2(\bar{\chi}_2 - 1)^{2/3}]}{(\bar{\chi}_1 - 1)^{1/3} + (\bar{\chi}_2 - 1)^{1/3}} \quad (8)$$

$$\alpha_{12} = \frac{1}{8} (\alpha_{11}^{1/3} + \alpha_{22}^{1/3})^3 \quad (9)$$

对于某一组分  $i$ ,

$$\bar{\chi}_i(\rho, T) = 1 + 2x_i(\bar{\chi}_i - 1) \quad (10)$$

$$\frac{\eta_i}{\eta_i^0 \alpha_{ii} \rho^*} = \frac{2}{\sqrt{\beta}} + 1 = 3.1954 \quad (11)$$

其中,  $1/\beta = 1/4 + 3/\pi$ 。  $\rho^*$  为流体的转换密度, 当流体密度

$\rho < \rho^*$  时,

$$\bar{\chi}_i = \frac{2}{\frac{\eta_i - \rho \alpha_{ii} \eta_i^0}{\eta_i^0} + \left[ \left( \frac{\eta_i - \rho \alpha_{ii} \eta_i^0}{\eta_i^0} \right)^2 - \frac{4\rho^2 \alpha_{ii}^2}{\beta} \right]^{1/2}} \quad (12)$$

当流体密度  $\rho > \rho^*$  时,

$$\bar{\chi}_i = \frac{2}{\frac{\eta_i - \rho \alpha_{ii} \eta_i^0}{\eta_i^0} - \left[ \left( \frac{\eta_i - \rho \alpha_{ii} \eta_i^0}{\eta_i^0} \right)^2 - \frac{4\rho^2 \alpha_{ii}^2}{\beta} \right]^{1/2}} \quad (13)$$

对于特定温度  $T$ ,

$$\frac{d\eta_i}{d\rho} = \frac{\eta_i}{\rho} \quad (14)$$

通过纯质的黏度关联式可以获得对应的转换密度  $\rho^*$ , 再结合纯质的势能参数, 预测不同物质的量之比下二元混合物的黏度。

### 2 结果与讨论

利用 VW 理论预测 CO<sub>2</sub>/HCs 二元体系的黏度, 计算过程中需要用到纯质的黏度关联式  $\eta$ , 为了将 VW 理论有效运用于 CO<sub>2</sub>/HCs 混合物, 采用表达式<sup>[13]</sup>:

$$\eta = \eta_0 (1 + N_A \sigma^3 \rho B_\eta^*) + D_\eta \quad (15)$$

$$\eta_0 = \frac{5}{16} \left( \frac{mkT}{\pi} \right)^{1/2} \frac{f_\eta}{\sigma^2 \Omega^*(2,2)} \quad (16)$$

$$\Omega^*(2,2) = \exp \sum_{i=0}^6 a_i (\ln T^*)^i \quad (17)$$

$$f_\eta = \sum_{i=0}^4 d_i (\ln T^*)^i \quad (18)$$

$$B_\eta^* = \sum_{i=0}^6 b_i (T^*)^{-i} \quad (19)$$

$$D_\eta = (1 + aT)^2 \frac{b_1 \rho + b_2 \rho^2}{1 + c_1 \rho + c_2 \rho^2} \quad (20)$$

其中,  $N_A$  为阿伏伽德罗常量,  $k$  为玻耳兹曼常数, 对比温度  $T^* = T/\epsilon$ ,  $\sigma$  和  $\epsilon$  分别为硬球半径和势阱深度。此外, 式(17)~式(19)中还包含多项系数:  $a_0 = 4.369 \times 10^{-1}$ ,  $a_1 = -4.505 \times 10^{-1}$ ,  $a_2 = 5.326 \times 10^{-2}$ ,  $a_3 = 3.519 \times 10^{-2}$ ,  $a_4 = -1.751 \times 10^{-2}$ ,  $a_5 = 2.773 \times 10^{-3}$ ,  $a_6 = -1.529 \times 10^{-4}$ ;  $d_0 = 1.001$ ,  $d_1 = 1.843 \times 10^{-3}$ ,  $d_2 = 1.793 \times 10^{-3}$ ,  $d_3 = -6.604 \times 10^{-4}$ ,  $d_4 = 5.818 \times 10^{-5}$ ;  $b_0 = -0.2201$ ,  $b_1 = 2.075$ ,  $b_2 = 5.512$ ,  $b_3 = -13.91$ ,  $b_4 = 10.82$ ,  $b_5 = -4.263$ ,  $b_6 = 0.5245$ 。对于不同物质, 方程(20)中拟合参数的具体取值见表 1。

表 1 方程(20)中系数的值

Table 1 Coefficients of equation (20)

物质	$a/K^{-1}$	$b_1/(\mu\text{Pa}\cdot\text{s}\cdot\text{dm}^3\cdot\text{mol}^{-1})$	$b_2/(\mu\text{Pa}\cdot\text{s}\cdot\text{dm}^6\cdot\text{mol}^{-2})$	$c_1/(\text{dm}^3\cdot\text{mol}^{-1})$	$c_2/(\text{dm}^6\cdot\text{mol}^{-2})$
CO <sub>2</sub>	$-1.751 \times 10^{-5}$	-0.7070	0.1908	0.0635	$-2.874 \times 10^{-3}$
CH <sub>4</sub>	$-3.034 \times 10^{-4}$	-0.1042	0.1201	0.0898	$-3.033 \times 10^{-3}$
C <sub>2</sub> H <sub>6</sub>	$1.712 \times 10^{-4}$	0.6993	0.0675	0.0152	$-3.206 \times 10^{-3}$
C <sub>3</sub> H <sub>8</sub>	$-4.485 \times 10^{-4}$	0.3317	0.3775	-0.0452	$-4.802 \times 10^{-4}$
<i>n</i> -C <sub>4</sub> H <sub>10</sub>	$-3.797 \times 10^{-4}$	1.072	0.1977	-0.1524	$6.887 \times 10^{-3}$
iso-C <sub>4</sub> H <sub>10</sub>	$-4.856 \times 10^{-4}$	1.863	0.2157	-0.1314	$5.033 \times 10^{-3}$

混合物中不同分子间的势能参数由相同分子间参数<sup>[13]</sup>计算得到,遵循 Lorentz-Berthelot 混合法则,有

$$\sigma_{12} = (\sigma_1 + \sigma_2) / 2 \quad (21)$$

$$\varepsilon_{12} = (\varepsilon_1 \varepsilon_2)^{1/2} \quad (22)$$

预测所采用的 CO<sub>2</sub>/HCs 二元体系势能参数如表 2 所示。

表 2 CO<sub>2</sub>/HCs 混合物势能参数

Table 2 Potential parameters for CO<sub>2</sub>/HCs mixtures

物质	$\sigma/\text{nm}$	$\varepsilon/\text{K}$
CO <sub>2</sub> /CH <sub>4</sub>	0.3796	181.63
CO <sub>2</sub> /C <sub>2</sub> H <sub>6</sub>	0.4086	237.42
CO <sub>2</sub> /C <sub>3</sub> H <sub>8</sub>	0.4261	286.95
CO <sub>2</sub> / <i>n</i> -C <sub>4</sub> H <sub>10</sub>	0.4375	332.97
CO <sub>2</sub> /iso-C <sub>4</sub> H <sub>10</sub>	0.4407	323.25

本文计算值与文献实验值的偏差分布如图 1 所示, Jackson<sup>[14]</sup>和 Kestin 等<sup>[15]</sup>分别测量了 CO<sub>2</sub>/CH<sub>4</sub>常压下的黏度,温度为 25~200°C; Kestin 等<sup>[16]</sup>测量了 30°C 时 CO<sub>2</sub>/CH<sub>4</sub>的黏度值,最高压力为 2.5 MPa。除去个别实验点,理论值和实验结果的相对偏差均小于±2.5%。基于毛细管法, Dewitt 等<sup>[17]</sup>获得了 CO<sub>2</sub>/CH<sub>4</sub>混合物在 3 种配比下的黏度,温度范围为 50~200°C,压力范围为 3.4~68 MPa。中低密度时,本文计算值与 Dewitt 和 Thodos 实验值吻合较好,绝大多数偏差不超过±5%,随着密度的增加,两者的偏差也随之增大,最大偏差达到了 9%以上,这是由于理论值和实验值分别采用了不同的状态方程,在计算混合物高密度时存在一定的差异。

Hendl 等<sup>[18]</sup>测量了 CO<sub>2</sub>/C<sub>2</sub>H<sub>6</sub>不同组分下的黏度,并拟合了相应的黏度关联式,温度由室温至 633 K,密度范围为 0.010~0.057 mol·L<sup>-1</sup>。在测量范围内,本文计算结果和关联式吻合较好,对于选取的 75 组数据,相对偏差介于-0.83%~-2.4%。Abe 等<sup>[19]</sup>采用振动盘黏度计分别测量了常压下 CO<sub>2</sub>/C<sub>2</sub>H<sub>6</sub>、CO<sub>2</sub>/C<sub>3</sub>H<sub>8</sub>和 CO<sub>2</sub>/*n*-C<sub>4</sub>H<sub>10</sub>的黏度,实验温度由 25°C 到 195°C。除个

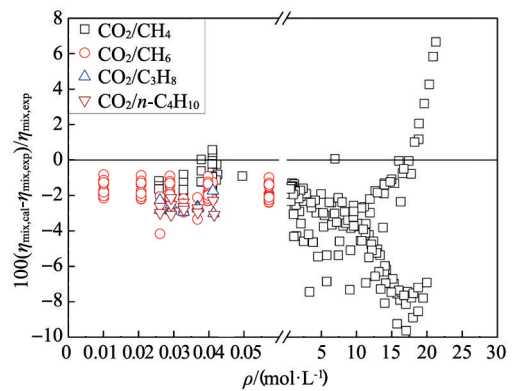
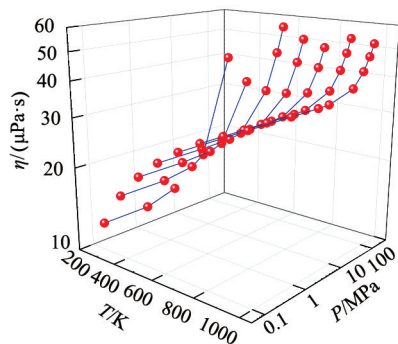


图 1 CO<sub>2</sub>/HCs 二元混合物黏度偏差比较

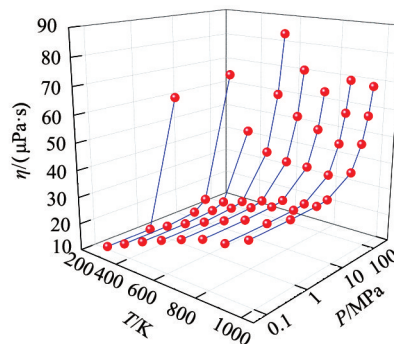
Fig. 1 Deviations of the values calculated in this work from the experimental viscosity data for CO<sub>2</sub>/HCs mixtures

别实验点外,本文结果与 Abe 等实验数据的相对偏差均不大于-3%。

影响黏度计算值的因素主要有纯质黏度、势能参数和状态方程。纯质黏度决定了计算值的温度和压力范围,对预测精度也有一定的影响,本文采用的关联式选自文献[13]。纯质的硬球半径和势阱深度同样来自文献[13],由 Lorentz-Berthelot 法则得到混合物的相应参数,引起的误差可以忽略不计。纯质和混合物的密度由美国 NIST 热物性软件 REFPROP 8.0<sup>[20]</sup>计算,状态方程对精度的影响较小。综合考虑上述各类因素,结合与文献值的比较,CO<sub>2</sub>/HCs 混合物黏度预测结果的不确定度估计为±5%,能够满足实际应用的要求。计算值温度范围由 273.15~973.15 K,最低压力为 0.1 MPa,最高压力随着温度的增加而增大:小于 300 K 时为 5 MPa,300~500 K 时为 50 MPa,500~800 K 时为 150 MPa,大于 800 K 时为 200 MPa。物质的量之比相同时,5 种 CO<sub>2</sub>/HCs 混合物的黏度预测结果如图 2 所示。



(a) CO<sub>2</sub>/CH<sub>4</sub>



(b) CO<sub>2</sub>/C<sub>2</sub>H<sub>6</sub>

图 2 等摩尔 CO<sub>2</sub>/HCs 混合物黏度

Fig. 2 Viscosity of CO<sub>2</sub>/HCs mixtures at equimolar

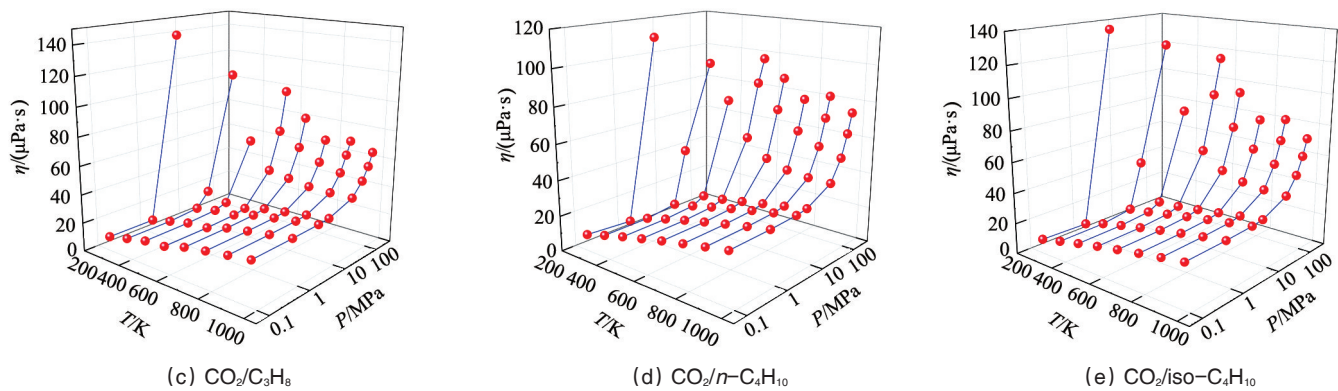


图2 等物质的量CO<sub>2</sub>/HCs混合物黏度(续)

Fig. 2 Viscosity of CO<sub>2</sub>/HCs mixtures under equimolar condition (continued)

### 3 结论

应用 Vesovic-Wakeham 理论,研究了不同物质的量之比下 CO<sub>2</sub>/CH<sub>4</sub>、CO<sub>2</sub>/C<sub>2</sub>H<sub>6</sub>、CO<sub>2</sub>/C<sub>3</sub>H<sub>8</sub>、CO<sub>2</sub>/*n*-C<sub>4</sub>H<sub>10</sub>、CO<sub>2</sub>/*iso*-C<sub>4</sub>H<sub>10</sub> 这 5 种 CO<sub>2</sub>/HCs 二元体系的黏度,计算结果的温度范围为 273.15 ~ 973.15 K,压力范围为 0.1 ~ 200 MPa,与实验数据比较表明,CO<sub>2</sub>/HCs 混合物黏度预测值具有较高的精度。

#### 参考文献(References)

[1] 张英芝, 杨正明, 唐立根, 等. 特低渗油藏注 CO<sub>2</sub> 驱油微观机制[J]. 科技导报, 2012, 30(35): 29-32.  
Zhang Yingzhi, Yang Zhengming, Tang Ligen, et al. Microscopic mechanism of CO<sub>2</sub> flooding in extra-low permeability reservoir[J]. Science & Technology Review, 2012, 30(35): 29-32.

[2] 王杰, 谭保国, 吕广忠. 一种通过数值模拟手段划分 CO<sub>2</sub> 驱替相带的新方法——以高 89 块油藏为例[J]. 科技导报, 2013, 31(9): 46-49.  
Wang Jie, Tan Baoguo, Lü Guangzhong. Numerical simulation for division of phase zone displacement: With Gao89 as an example[J]. Science & Technology Review, 2013, 31(9): 46-49.

[3] de la Cruz de Dios J, Bouchot C, Galicia Luna L A. New  $p$ - $\rho$ - $T$  measurements up to 70 MPa for the system CO<sub>2</sub> + propane between 298 and 343 K at near critical compositions[J]. Fluid Phase Equilibria, 2003, 210(2): 175-197.

[4] Tsuji T, Tanaka S, Hiaki T.  $P$ - $V$ - $T$ - $x$  relationship for CO<sub>2</sub>+C<sub>4</sub>H<sub>10</sub> and CO<sub>2</sub>+*i*C<sub>4</sub>H<sub>10</sub> binary gas mixtures and the partial molar volume of C<sub>4</sub>H<sub>10</sub> and *i*C<sub>4</sub>H<sub>10</sub> at 360.00 K[J]. Journal of Supercritical Fluids, 2004, 29(3): 215-220.

[5] Kim J H, Kim M S. Vapor-liquid equilibria for the carbon dioxide + propane system over a temperature range from 253.15 to 323.15 K[J]. Fluid Phase Equilibria, 2005, 238(1): 13-19.

[6] Feng X J, Liu Q, Zhou M X, et al. Gaseous  $p$  $v$  $T$  $x$  properties of mixtures of carbon dioxide and propane with the burnett isochoric method[J]. Journal of Chemical and Engineering Data, 2010, 55(9): 3400-3409.

[7] Vesovic V, Wakeham W A. The prediction of the viscosity of dense gas mixtures[J]. International Journal of Thermophysics, 1989, 10(1): 125-132.

[8] Vesovic V. Predicting the viscosity of natural gas[J]. International Journal of Thermophysics, 2001, 22(2): 415-426.

[9] de Wijn A S, Riesco N, Jackson G, et al. Viscosity of liquid mixtures:

The Vesovic-Wakeham method[J]. Journal of Chemical Physics, 2012, 136(7): 074514.

[10] 宋渤, 王晓坡, 刘志刚. HFC 类二元混合制冷剂气相黏度预测[J]. 工程热物理学报, 2012, 33(6): 929-933.  
Song Bo, Wang Xiaopo, Liu Zhigang. Prediction of gaseous viscosity of binary HFC refrigerant mixtures[J]. Journal of Engineering Thermophysics, 2012, 33(6): 929-933.

[11] Di Pippo R, Dorfman J R, Kestin J, et al. Composition dependence of the viscosity of dense gas mixtures[J]. Physica A, 1977, 86(2): 205-223.

[12] Maitland G C, Rigby M, Smith E B, et al. Intermolecular forces: Their origin and determination[M]. Oxford: Clarendon Press, 1981.

[13] Najafi B, Ghayeb Y, Parsafar G A. New correlation functions for viscosity calculation of gases over wide temperature and pressure ranges[J]. International Journal of Thermophysics, 2000, 21(5): 1011-1031.

[14] Jackson M W. Viscosities of the binary gas mixtures, methane-carbon dioxide and ethylene-argon[J]. Journal of Physical Chemistry, 1956, 60(6): 789-791.

[15] Kestin J, Ro S T. The viscosity of nine binary and two ternary mixtures of gases at low density[J]. Berichte der Bunsengesellschaft für physikalische Chemie, 1974, 78(1): 20-24.

[16] Kestin J, Yata J. Viscosity and diffusion coefficient of six binary mixtures[J]. Journal of Chemical Physics, 1968, 49(11): 4780-4791.

[17] Dewitt K J, Thodos G. Viscosities of binary mixtures in the dense gaseous state: The methane-carbon dioxide system[J]. Canadian Journal of Chemical Engineering, 1966, 44(3): 148-151.

[18] Hendl S, Vogel E. Temperature and initial density dependence of viscosity of binary mixtures: Carbon dioxide - ethane[J]. High Temperature - High pressures, 1993, 25(3): 279-289.

[19] Abe Y, Kestin J, Khalifa H E, et al. The viscosity and diffusion coefficients of the mixtures of light hydrocarbons with other polyatomic gases[J]. Berichte der Bunsengesellschaft für physikalische Chemie, 1979, 83(3): 271-276.

[20] Lemmon E W, Huber M L, McLinden M O. NIST standard reference database 23, Reference fluid thermodynamic and transport properties database (REFPROP), version 8.0[C]. Gaithersburg: National Institute of Standards and Technology, 2007.

(责任编辑 刘志远)